

بهینه‌سازی حذف ترکیب دارویی سیپروفلوکساسین با فرایند انعقاد الکتروشیمیایی با مدل آماری رویه پاسخ از محیط‌های آبی

محمد رضا سمرقندی^۱, قباد احمدی دوست^۲, امیر شعبانلو^۳, صبا مجیدی^۴, هادی رضایی و حیدریان^۵
سعید معروفی^۶, مصطفی شاه‌مرادی^۷, جمال مهرعلی‌پور^۸

- ۱- دانشیار، گروه مهندسی بهداشت، دانشگاه علوم پزشکی همدان، ایران
 - ۲- دانشجوی کارشناسی ارشد مهندسی بهداشت محیط، دانشگاه علوم پزشکی همدان، ایران
 - ۳- دانش‌آموخته کارشناسی ارشد مهندسی بهداشت محیط، عضو کمیته تحقیقات دانشجویی دانشگاه علوم پزشکی همدان، همدان، ایران
 - ۴- دانشجوی دکترای پژوهشی شیمی، دانشکده شیمی و مهندسی شیمی، دانشگاه مالک اشتر تهران
 - ۵- دانشجوی کارشناسی ارشد شیمی، دانشگاه بین المللی امام خمینی(ره)، قزوین
 - ۶- کارشناس رشته بهداشت محیط، عضو کمیته تحقیقات دانشجویی دانشگاه علوم پزشکی همدان، همدان، ایران
 - ۷- دانش‌آموخته کارشناسی ارشد رشته مهندسی بهداشت محیط، عضو کمیته تحقیقات دانشجویی دانشگاه علوم پزشکی همدان، همدان
- (نویسنده مسئول) (۰۸۱) ۳۴۵۲۳۴۵۱
Jamalmehralipour@yahoo.com

(دریافت ۹۴/۹/۷ پذیرش ۹۴/۱۲/۲۵)

برای ارجاع به این مقاله به صورت زیر اقدام شود:

Samarghandi, M., Ahmadisooft, Gh., Shabanloo, A., Majidi, S., Rezaee Vahidian, H., Maroufi, S., Shahmoradi, M. & Mehralipour, J., 2017, "Optimization of electrocoagulation via response surface methodology to remove ciprofloxacin from aqueous media", *Journal of Water and Wastewater*, Vol. 28 No. 2 (108), 19-21. (In Persian)

چکیده

مدل آماری رویه پاسخ، با انجام طراحی مرکزی باعث بهینه‌سازی فرایندها تولید می‌شود. از طرف دیگر حذف ترکیبات دارویی قبل از تخلیه به محیط زیست امری ضروری است. هدف از این مطالعه، بهینه‌سازی حذف ترکیب دارویی سیپروفلوکساسین با فرایند انعقاد الکتروشیمیایی با مدل آماری رویه پاسخ از محیط آبی بود. در این مطالعه، از یک راکتور به همراه دو الکترود آهن به عنوان آند و دو الکترود تیتانیوم به عنوان کاتد استفاده شد. الکتروودها به صورت مونوپلار به دستگاه جریان مستقیم وصل بودند. پارامترهای pH در محدوده ۴ تا ۸ جریان ۱/۵ آمپر DC، غلظت سیپروفلوکساسین ۱۵ تا ۴۰ میلی گرم در لیتر و زمان واکنش ۱۵ تا ۳۰ دقیقه به عنوان پارامترهای اصلی طراحی با نرم‌افزار Design Expert لاحظ شدند. آنالیز IR-FT، تصاویر SEM، میزان حذف COD و تغییرات ایجاد شده در طیف UV-VIS در شرایط بهینه تعیین شد. نتایج مدل سازی، بازده ۸۵/۹۱ درصدی به ازای غلظت اولیه سیپروفلوکساسین برابر ۱۵ میلی گرم در لیتر در pH ۷/۶۸ برابر است. جریان مستقیم الکتریکی برابر ۱/۵۰ آمپر و زمان واکنش برابر ۳۰ دقیقه را به عنوان بهترین شرایط آزمایش مشخص نمود. میزان حذف COD در این شرایط ۶۴ درصد به دست آمد. نتایج بدست آمده بر اساس آنالیز IR-FT و تصاویر SEM نشان دهنده انجام تغییرات در طی فرایند است. اسکن طول موج نیز نشان دهنده کاهش غلظت و معدنی سازی آلاینده است. بهینه‌سازی با مدل آماری رویه پاسخ باعث کاهش تعداد آزمایش‌ها و افزایش دقت شد. فرایند انعقاد الکتروشیمیایی دارای کارایی مناسبی در حذف سیپروفلوکساسین و COD می‌باشد و می‌توان از این فرایند برای کاهش بار آلودگی فاضلاب قبل از ورود به محیط استفاده کرد.

واژه‌های کلیدی: بهینه‌سازی، انعقاد الکتروشیمیایی، سیپروفلوکساسین، رویه پاسخ، محیط‌های آبی

۱- مقدمه

حضور آلاینده‌های مختلف به ویژه آلاینده‌های نوپدید و مقاوم در محیط‌های آبی باعث شده است که فرایندهای متداول تصفیه آب و فاضلاب قادر به حذف این آلاینده‌ها نباشند. ترکیبات دارویی، جزء مهم‌ترین آلاینده‌های نوظهور در منابع آبی تلقی می‌شوند. آنتی

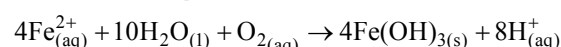
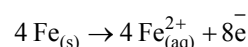
بیوتیک‌ها به دلیل توانایی ایجاد مقاومت آنتی‌بیوتیکی^۱ مورد توجه خاص قرار گرفته‌اند (Dimitrako Poulou et al. 2012). آمارهای موجود حاکی از استفاده سالانه یکصد تا دویست هزار تن آنتی‌بیوتیک در جهان است. در نتیجه احتمال آلودگی منابع آبی با

^۱ Antibiotic- resistance

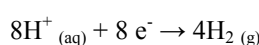
Guinea et al. 2009; Choi, Son & Kim 2007; Crisafulli et al. 2008) فرایند انعقاد الکتروشیمیایی به دلیل حجم کم لجن تولیدی، عدم نیاز به مواد شیمیایی، نیاز به فضای کوچک، هزینه سرمایه‌گذاری اندک، کاربرد ساده در بهره‌برداری و کارایی بالا مورد توجه است (Shannag et al. 2014). در فرایند انعقاد الکتروشیمیایی در صورت استفاده از الکترودهای آندي آهن، امکان رخداد دو مکانیسم عده وجود دارد که در واکنش‌های زیر اشاره شده است (Farhadi et al. 2012).

مکانیسم اول

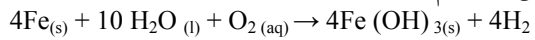
واکنش‌های آندر (الکترود آهن)



واکنش کاتد (الکترود تیتانیم)

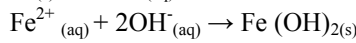
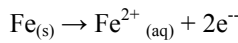


واکنش کلی مکانیسم اول

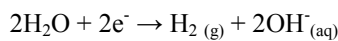


مکانیسم دوم

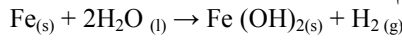
واکنش‌های آندر (الکترود آهن)



واکنش کاتد (الکترود تیتانیم)



واکنش کلی مکانیسم دوم



مدل آماری رویه پاسخ^۱، برای بهینه‌سازی پارامترهای فرایند مورد استفاده قرار می‌گیرد. با به کارگیری این مدل آماری، امکان محاسبه روابط و تأثیرگذاری پارامترها بر روی همدیگر در طی فرایند آزمایش با تعداد آزمایش‌های کمتری امکان‌پذیر است. RSM آزمایش با از روشن‌های ریاضی و آماری برای مدل‌سازی و آنالیز با استفاده از چندین متغیر دخیل در هر فرایند است که به طور سودمندی باعث بهینه‌سازی فرایند می‌شود (Olmez 2009). RSM، ساخته مهمی از طراحی آزمایش‌ها است که روش‌شناسی مهمی در توسعه روش‌های جدید، بهینه‌سازی کارایی فرایند و بهبود طراحی و فرمولاسیون محصولات است. Olmez et al. در سال ۲۰۰۹ بهینه‌سازی فرایند انعقاد الکتروشیمیایی در حذف کروم شش ظرفیتی با مدل آماری RSM را مورد مطالعه قرار دادند. پارامترهای

این ترکیبات بسیار زیاد است. باقیمانده آنتی‌بیوتیک‌ها به شکل ترکیبات اصلی^۲ و یا متابولیت‌ها^۳ وارد شبکه و تصفیه‌خانه‌های فاضلاب می‌شوند. عدم توانایی تصفیه‌خانه‌های فاضلاب در حذف آنتی‌بیوتیک‌ها باعث راهیابی این ترکیبات به آب‌های سطحی و زیرزمینی می‌شوند. استفاده بی‌رویه و نادرست این ترکیبات و ورود مستمر به محیط زیست باعث تجمع زیستی^۴ و ایجاد مقاومت کاذب می‌شود (Hernando et al. 2006). از خانواده‌های بزرگ آنتی‌بیوتیکی، می‌توان به خانواده فلوروکینولون^۵ اشاره نمود. از آنتی‌بیوتیک‌های مطرح در این خانواده می‌توان سیپروفلوکساسین (CIP)، افلوکسین (OFL) و نوروفلوکساسین (NOR) را نام برد. حضور اتم فلور در ترکیب این آنتی‌بیوتیک‌ها باعث ایجاد ثبات و پایداری این ترکیب‌ها شده و به همین دلیل به عنوان یک آلاندنه در محیط مطرح مستند. سیپروفلوکساسین در فاضلاب و آب‌های سطحی در پساب بیمارستان و کارخانه‌های داروسازی شناسایی شده است. همچنین این آنتی‌بیوتیک می‌تواند در لجن جذب شود و در صورت استفاده به عنوان کود در خاک تجمع یافته و وارد گیاهان شود (Carabineiro et al. 2011). شکل ۱ ساختار مولکولی CIP و CIP شکل یونی در pH های مختلف و pKa است.

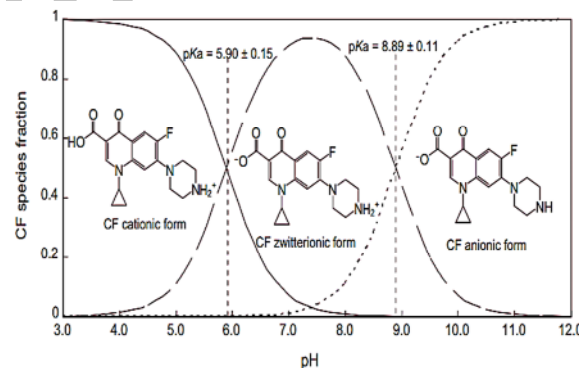


Fig. 1. Molecular structure of CIP and ionic form at different levels of pH and pKa

شکل ۱- ساختار مولکولی CIP و شکل یونی در pH های مختلف و pKa

از روش‌های حذف ترکیبات دارویی می‌توان به روش‌های فنتون و فوتوفنتون^۶، الکتروشیمیایی^۷، انعقاد شیمیایی^۸، تعویض یون^۹ و فرایند جذب سطحی^{۱۰} اشاره کرد (Rozas et al. 2010).

¹ Parent Compound

² Metabolites

³ Bioaccumulation (FQs)

⁴ Fluor Quinolones

⁵ Fenton and Photo- Fenton

⁶ Electrochemical

⁷ Coagulation

⁸ Ion exchange

⁹ Adsorption

¹⁰ Response Surface Model (RSM)

هچ آلمان اندازه‌گیری شد. غلظت سیپروفلوکساسین بر اساس مطالعات قبلی در طول موج ۲۷۴ نانومتر و میزان COD مطابق دستورالعمل C. ۵۲۲۰ ذکر شده در مرجع روش‌های استاندارد آزمایش‌های آب و فاضلاب اندازه‌گیری شد (Zu et al. 2014; APHA 2012).

۲-۲-روش کار

در این مطالعه با استفاده از نرم‌افزار Design Expert 7.0.1 برای تعیین تعداد آزمایش‌ها، مقدار پارامترها و در نهایت آنالیز داده‌های به دست آمده پس از انجام فرایند مورد استفاده قرار گرفت (جدول ۱). میزان حذف آلاینده‌ها با طراحی استاندارد مدل آماری RSM (CCD) صورت گرفت. پارامترهای اصلی تأثیرگذار بر فرایند شامل pH اولیه محیط در محدوده ۴ تا ۸، میزان جریان الکتریکی ورودی به محفظه واکنش ۰/۵ تا ۱/۵ آمپر، غلظت اولیه آنتی‌بیوتیک ۱۵ تا ۴۰ میلی‌گرم در لیتر، زمان انجام واکنش (۱۵-۳۰ دقیقه) مورد بررسی قرار گرفت. پس از تعیین شرایط بهینه و مدل‌سازی فرایند، میزان حذف COD، تغییر ایجاد شده در طول موج جذبی و آنالیز طیف FT-IR سیپروفلوکساسین، لجن حاصل از فرایند و لجن بدون آنتی‌بیوتیک و تصاویر SEM از آنتی‌بیوتیک در محلول و لجن پس از فرایند مورد بررسی قرار گرفت. در نهایت میزان کارایی فرایند در حذف سیپروفلوکساسین و COD با استفاده از رابطه زیر به دست آمد

$$E = \left(\frac{C_0 - C_e}{C_0} \right) \times 100 \quad (1)$$

که در این رابطه C_0 غلظت اولیه آلاینده بر حسب میلی‌گرم در لیتر، C_e غلظت باقیمانده آلاینده بر حسب میلی‌گرم در لیتر و E کارایی حذف بر حسب درصد است.

Table 1. Design parameters together with the values and regions selected

جدول ۱- پارامترهای مورد استفاده در طراحی به همراه مقادیر و محدوده در نظر گرفته شده

Parameters	Scope and level of parameters				
	- α	-1	0	+1	+ α
A: pH	2	4	6	8	10
B: Electrical current	0.1	0.5	1	1.9	1.34
C: CIP (mg/L)	2.5	15	27.5	40	52.5
D: Reaction time (min)	7.5	15	22.5	30	37.5

تأثیرگذار بر حذف کروم شش ظرفیتی با این فرایند شامل جریان الکتریکی ورودی به محفظه واکنش، میزان غلظت الکتروولیت مورد استفاده طی فرایند و زمان واکنش در حذف این آلاینده بود. طراحی مراحل آزمایش بر اساس طراحی ترکیبی مرکزی^۱ به منظور بهینه‌سازی فرایند و بررسی تأثیر رابطه بین متغیرهای فرایند صورت گرفت. شرایط بهینه به دست آمده شامل شدت جریان الکتریکی برابر ۷/۴ ولت و میزان غلظت الکتروولیت برابر ۳۲/۶ میلی‌مول در مدت زمان ۷۰ دقیقه بود (Olmez 2009).

هدف از این مطالعه، بهینه‌سازی فرایند انعقاد الکتروشیمیابی با مدل آماری رویه پاسخ در حذف ترکیب دارویی سیپروفلوکساسین از محیط‌های آبی بود.

۲-مواد و روش‌ها

این مطالعه، یک مطالعه تجربی با رویکرد کاربردی بود که در یک راکتور منقطع الکتروشیمیابی به حجم مفید ۱ لیتر انجام پذیرفت.

۱-مواد و وسائل

در این مطالعه از ترکیب سیپروفلوکساسین هیدروکلراید با درجه خلوص ۹۹/۸ درصد محصول شرکت البرز دارویی قزوین، هیدروکسید سدیم، اسید سولفوریک، ویال سنجش COD و سولفات سدیم ساخت شرکت‌های مرک^۲ و سیگما^۳-آلدریچ^۴ استفاده شد. این پژوهش بر روی نمونه‌های سنتیک انجام گرفت. به این منظور یک واحد پایلوت شامل یک راکتور با جریان منقطع در مقیاس آزمایشگاهی مورد استفاده قرار گرفت. پایلوت مورد نظر شامل یک سلول الکتروشیمیابی از جنس پلکسی گلاس به حجم ۱۰۰۰ میلی‌لیتر مجهز به ۴ الکترود از جنس آهن و تیتانیم با ابعاد $200 \times 200 \times 200$ میلی‌متر با مساحت فعال آندی ۱۶۰ سانتی‌متر مربع با فاصله ۲ سانتی‌متر از هم که ۲ الکترود آهن به عنوان آند و ۲ الکترود تیتانیم به عنوان کاتد یک در میان به صورت شناور داخل سلول الکتریکی تعییه شدند. ارتباط این الکترودها با دستگاه تولید ADAK P405 S ساخت شرکت Sensoal^۵ به صورت تک قطبی مستقیم بود. به منظور تنظیم pH اولیه از متر دیجیتالی مدل DR5000^۶ ساخت شرکت HACH^۷ آلمان استفاده شد. مقادیر جذب، تغییرات ایجاد شده بر روی طول موج جذب و میزان حذف COD با دستگاه اسپکتروفوتومتر

¹ Center Composit Design (CCD)

² Merck

³ Sigma Aldrich

⁴ HACH

Table 2. Results of analysis of variance for a second order model of the electrocoagulation Ciprofloxacin removal process

جدول ۲- نتایج آنالیز واریانس برای مدل درجه دوم در فرایند انعقاد الکتروشیمیایی در حذف سیپروفلوکساسین

SOURCE	SUM OF SQUARES	DF	MEAN SQUARE	F - VFEUE	P-VFEUE PROB > F	
MODEL	9269.15	14	662.08	6.27	0.0005	Significant
A: PH	2480.67	1	2480.67	23.51	0.0002	
B: CURRENT	724.29	1	724.29	6.86	0.0193	
C: CIP	1066.67	1	1066.67	10.11	0.0062	
D: TIME	1066.67	1	1066.67	10.11	0.0062	
AB	56.25	1	56.25	0.53	0.4766	
AC	90.25	1	90.25	0.86	0.3697	
AD	121.00	1	121.00	1.15	0.3012	
BC	25.00	1	25.00	0.24	0.6335	
BD	42.25	1	42.25	0.40	0.5364	
CD	90.25	1	90.25	0.86	0.3697	
A^2	2927.61	1	2927.61	27.75	0.0001	
B^2	93.85	1	93.85	0.89	0.3606	
C^2	36.27	1	36.27	0.34	0.5664	
D^2	448.27	1	448.27	4.25	0.0571	
RESIDUFE	1582.71	15	105.51			
LACK OF FIT	1317.00	9	146.33	3.30	0.0797	not significant
PURE ERROR	265.71	6	44.29			
COR TOTFE	10851.87	29				

انطباق^۱، نشانگر این است که نقص در برآذش داده‌ها توسط مدل، نسبت به خطای خالص دارای اهمیت است. مقدار مجموع مربعات $R^2=0.93$ نشان می‌دهد که مدل دارای دقت قابل قبولی است. از طرف دیگر مقدار پارامتر مجذور مربعات فواصل پیش‌بینی شده^۲ برابر با 0.79 ، در توافق منطقی با مقدار پارامتر مجذور مربعات فواصل تنظیم شده برابر با 0.89 است. همچنین پارامتر دقت مناسب^۳ نشان‌دهنده نسبت سیگنال به نویز است که نسبت بزرگ‌تر از 4 قابل قبول است که در این مورد این پارامتر برابر با $18/94$ بوده که مقدار مطلوبی است. پس از تحلیل‌های آماری مدل پیشنهادی به صورت یک معادله درجه دوم بر حسب پارامترهای واقعی توسط نرم افزار ارائه شد که در رابطه زیر نشان داده شده است.

$$R1 = 55.57 + (10.17 \times \text{pH}) - (6.67 \times \text{CIP}) + (6.67 \times \text{Time}) + (1.88 \times \text{pH} \times \text{I}) - (2.38 \times \text{pH} \times \text{CIP}) + (2.75 \times \text{pH} \times \text{Time}) - (1.25 \times \text{I} \times \text{CIP}) + (1.63 \times \text{I} \times \text{Time}) + (2.38 \times \text{CIP} \times \text{Time}) - (10.27 \times \text{pH}^2) - (2.39 \times \text{I}^2) - (1.14 \times \text{CIP}^2) - (4.02 \times \text{Time}^2) \quad (2)$$

۲-۳- نحوه اثر متغیرها در فرایند

به منظور بررسی چگونگی اثرگذاری هر متغیر و اثرات متقابل یا اثرات دوگانه متغیرها بر روی پاسخ تولید شده توسط مدل،

¹ Lack-of-fit

² Predicted R-squared

³ Adequate Precision

۳- نتایج و بحث

۳-۱- آزمایش‌های طراحی شده با روش CCD
پس از طراحی تعداد و مقادیر پارامترها، نتایج حاصل از مطالعات به دست آمد. بر اساس نتایج به دست آمده، بازده فرایند انعقاد الکتروشیمیایی در حذف سیپروفلوکساسین از 7 تا 83 درصد متغیر است. به‌منظور یافتن بهترین مدل، پس از بررسی و ارزیابی نقص برآذش و آنالیز واریانس مربوط به مدل‌های مختلف، یک مدل درجه دوم توسط نرم‌افزار برای توصیف فرایند پیشنهاد شد. مدل پیشنهادی توسط آنالیز واریانس مورد بررسی قرار گرفت که نتایج مربوطه در جدول ۲ نشان داده شده است.

مقدار "F-value" برابر $27/6$ و مقدار "P-value" کوچک‌تر از $0/001$ برای مدل نشان می‌دهد که مدل پیشنهادی برای شبیه‌سازی مقدار حذف سیپروفلوکساسین توسط فرایند انعقاد الکتروشیمیایی دارای اهمیت است. مدل ارائه شده برای سیستم شامل چهار ترم اثرات تک جزیی یا خطی (pH ، جریان الکتریکی مستقیم، غلظت اولیه سیپروفلوکساسین، مدت زمان واکنش)، شش ترم مربوط به اثرات دوگانه یا برهمکنشی و چهار ترم مربوط به اثرات انجنا یا درجه دوم است. اما همه این پارامترها در مدل تأثیر معنی‌دار و مهم نداشته و با حذف برخی از این پارامترها مدل ساده‌تر می‌شود. همچنین میزان "F-value" برابر $3/0$ برای پارامتر "فقدان

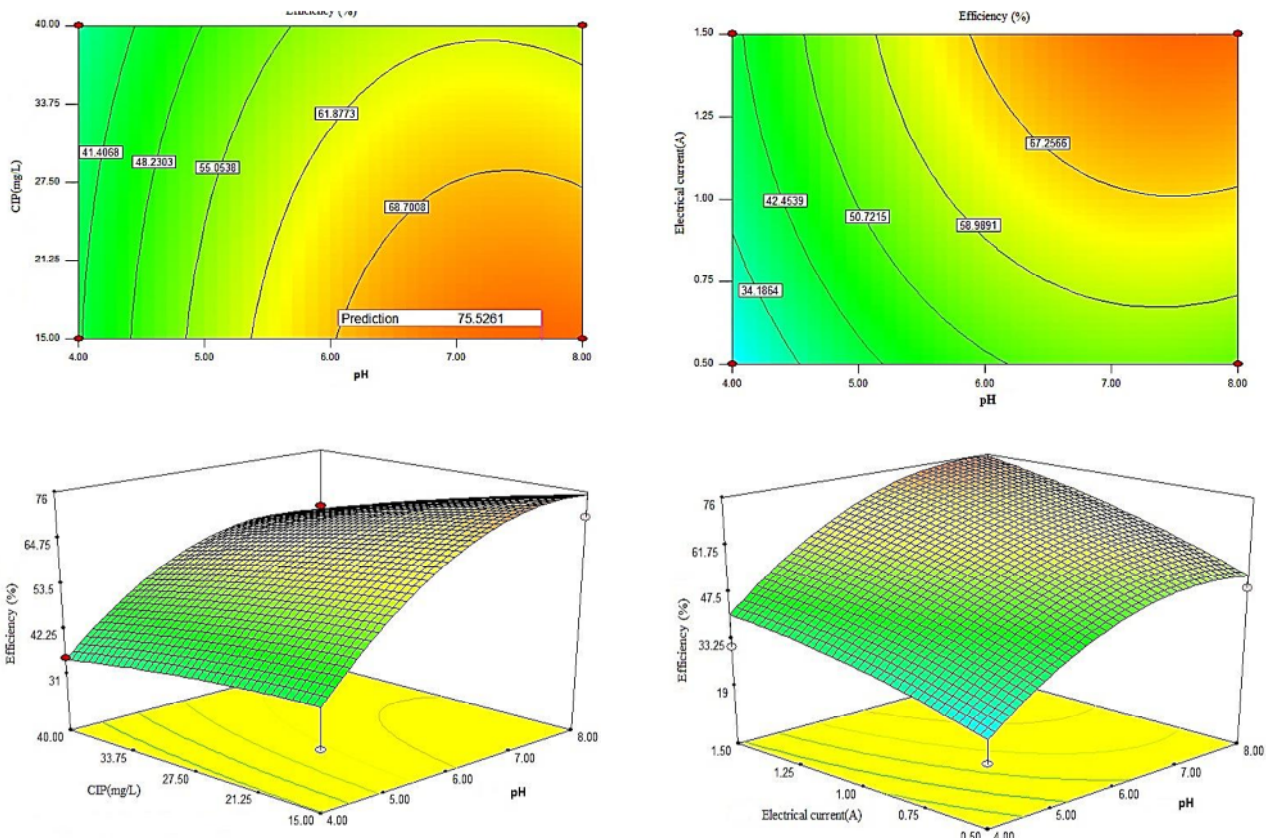


Fig. 3. Simultaneous impacts of initial levels of pH and ciprofloxacin concentration on the efficiency of ciprofloxacin removal in the electrochemical coagulation process

شکل ۳- تأثیر همزمان متغیرهای pH اولیه محیط و غلظت اولیه سپروفلوکساسین بر بازده حذف سپروفلوکساسین در فرایند انعقاد الکتروشیمیابی

در شکل ۴ pH محیط و زمان واکنش، پارامترهای انتخابی هستند که pH محیط پارامتر تأثیرگذارتری نسبت به پارامتر زمان واکنش است. همچنین بالاترین کارایی فرایند در زمان واکنش حدداشتی به دست آمده است.

۳-۳- بهینه‌سازی مدل

بهینه‌سازی مدل و یافتن مقدار بهینه متغیرها در فرایند حذف سپروفلوکساسین بر اساس تابع مطلوبیت توسط نرم‌افزار انجام شد. به این منظور در نرم افزار شرایط بهینه‌سازی مربوط به هر متغیر و پاسخها و میزان اهمیت هر یک از آنها تعیین شد. همه پارامترها در رنج مربوط به طراحی تنظیم شدند. همچنین بازده حذف در مقدار مطلوب ۸۵/۹۱ درصد حذف تنظیم شد. در این شرایط بازده به ازای غلظت اولیه سپروفلوکساسین برابر ۱۵ میلی‌گرم در لیتر، pH

Fig. 2. Simultaneous impacts of initial pH levels and direct electric currents on efficiency of ciprofloxacin removal in the electrochemical coagulation process

شکل ۲- تأثیر همزمان متغیرهای pH اولیه محیط و جریان الکتریکی مستقیم بر بازده حذف سپروفلوکساسین در فرایند انعقاد الکتروشیمیابی

نمودارها بر اساس تابع چند جمله‌ای مدل، با استفاده از نرم‌افزار طراحی آزمایش تهیه شدند. شکل‌های ۲ تا ۵ نمودارهای مربوط به بازده حذف سپروفلوکساسین به صورت تابعی از pH اولیه محیط، جریان الکتریکی مستقیم، غلظت اولیه سپروفلوکساسین و زمان واکنش را نشان می‌دهد. همان‌طور که در شکل ۲ مشاهده می‌شود، دو پارامتر pH محیط و جریان الکتریکی مستقیم به عنوان پارامترهای انتخابی هستند که در محدوده پارامترهای تعریف شده، تأثیر pH محیط نسبت به زمان واکنش بیشتر است و با تغییر pH محیط فرایند بیشتر دستخوش تغییرات قرار می‌گیرد و پارامتر جریان الکتریکی تأثیرگذاری نسی کمتری دارد.

در شکل ۳ پارامترهای pH محیط و غلظت سپروفلوکساسین پارامترهای انتخابی هستند که در این تصویر نیز تأثیر pH محیط بیشتر از غلظت سپروفلوکساسین در محدوده انتخابی پارامترها است و با افزایش غلظت سپروفلوکساسین، کارایی فرایند کاهش می‌یابد.

توسط آنالیز واریانس آنا^۱ و مدل‌سازی و ارائه یک شبیه‌سازی و پیش‌بینی دقیق نیز از جمله مزایای این مدل آماری است. در مطالعه حاضر چهار پارامتر زمان واکنش، غلظت اولیه سیپروفلوکساسین، جریان الکتریکی مستقیم و pH اولیه محیط به عنوان پارامترهای اصلی تأثیرگذار بر فرایند تشخیص داده شد. بنابراین بهینه‌سازی پارامترها بر اساس این چهار پارامتر صورت گرفت و در نهایت اطلاعات مربوط به بهینه‌سازی حذف سیپروفلوکساسین در فرایند انعقاد الکتروشیمیابی ارائه شد. در این مطالعه طراحی تکیی مرکزی به منظور طراحی آزمایش‌های مورد استفاده قرار گرفت. این روش به شکل خطی معادله درجه دوم فاکتورهای تأثیرگذار بر فرایند، مورد مطالعه قرار گرفت (AbuHasan et al. 2011). Zeng et al. در سال ۲۰۱۲ طی مطالعه‌ای بهینه‌سازی پارامترهای دخیل در فرایند را انجام دادند. در این مطالعه پارامترهای سرعت بازگردش، سرعت ورود پساب به راکتور، دز ذرات آهن و جریان دبی ورودی ازن مورد مطالعه قرار گرفت. نتایج نشان می‌دهد که کارایی فرایند در شرایط بهینه تحت تأثیر پارامترهای pH و محیط تأثیرگذارترین فاکتور در حذف سیپروفلوکساسین با استفاده از فرایند انعقاد الکتروشیمیابی است. تغییر در راندمان فرایند مذکور در اثر تغییرات pH محیط به ماهیت واکنش بین یون‌های آزاد شده از سطح آند و هیدروکسیدهای مربوطه بستگی دارد. هنگامی که pH در محدوده ۴ تا ۹ باشد، یون‌های Fe^{3+} و هیدروکسید OH^- منومریک‌های مختلف از جمله $(\text{Fe}(\text{H}_2\text{O})_6)^{3+}$ و $(\text{Fe}(\text{OH})_4^-)$ و $(\text{Fe}(\text{OH})(\text{H}_2\text{O})_5^{2+})$ و حتی پلیمرهای هیدروکسیلی مانند $(\text{Fe}_{13}(\text{OH})_{32})^{7+}$ آزاد می‌شود. در نهایت، در این محدوده pH مقادیر زیادی از کمپلکس آهن به عنوان کوآگولانت تولید می‌شود که در نهایت منجر به تولید فلوکوهاي $\text{Fe}_3(\text{OH})_3$ می‌شوند که از طریق مکانیسم ترسیب و پلیمریزاسیون تغییر شکل می‌دهند و مولکولهای بزرگ را از طریق کمپلکس‌سازی و جاذبه الکترواستاتیکی حذف می‌کنند (Robya et al. 2005).

این لخته‌های تولید شده دارای مساحت سطحی بالایی هستند که برای جذب آلاند بسیار ایده‌آل می‌باشند. نتایج مطالعه حاضر با نتایج مطالعه دانشور و همکاران همخوانی دارد. در مطالعه یاد شده کارایی فرایند انعقاد الکتروشیمیابی در حذف رنگ‌های C. I. Basic Red 46 و C. I. Basic Blue 3 در محدوده pH ۵/۵ تا ۷ تعیین شده است (Daneshvar et al. 2006). میزان جریان الکتریکی مستقیم اعمال شده به سلول الکتریکی یکی دیگر از پارامترهای اساسی در

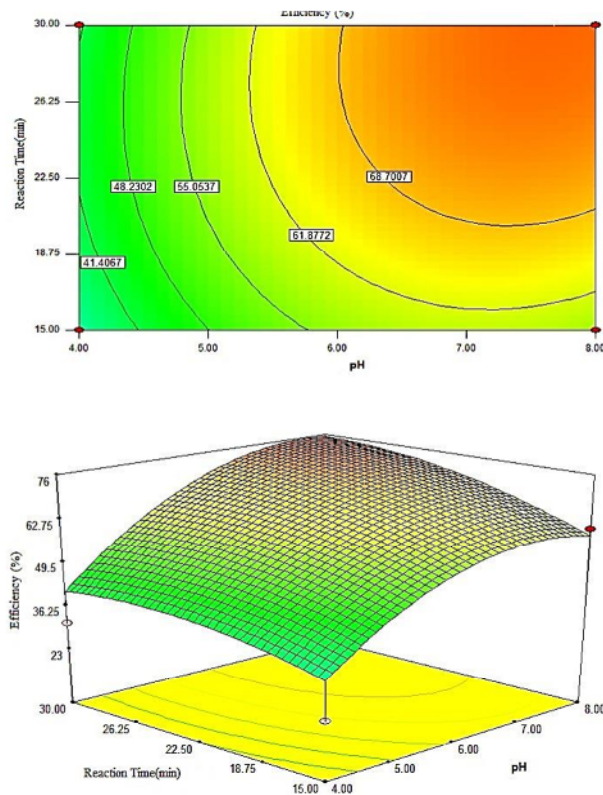


Fig. 4. Simultaneous impacts of initial levels of pH and reaction time on the efficiency of ciprofloxacin removal in the electrochemical coagulation process

شکل ۴- تأثیر هم‌زمان متغیرهای pH اولیه محیط و زمان واکنش بر بازده حذف سیپروفلوکساسین در فرایند انعقاد الکتروشیمیابی

برابر ۷/۶۸، جریان مستقیم الکتریکی برابر ۱/۵۰ آمپر و زمان واکنش برابر ۳۰ دقیقه توسط مدل پیش‌بینی شد. در بسیاری از مطالعات صورت گرفته با استفاده از فرایندهای مختلف به دلیل انجام مطالعه کلاسیک و عدم بهره‌گیری از مدل آماری یک شکاف در مطالعات به وجود می‌آید و آن عدم تعیین رابطه و اثرات متقابل متغیرهای مورد بررسی است. به منظور پرکردن این شکاف از مدل آماری و محاسبات ریاضی استفاده می‌شود. همچنین استفاده از مدل آماری در فرایندهای تصفیه، روشی مناسب در راستای جلوگیری از بروز اشتباہات انسانی و به حداقل رساندن این خطاهاست. از ویژگی‌های برتر این مدل آماری می‌توان به کاهش بسیار زیاد در تعداد نمونه‌های آزمایشگاهی که منجر به کاهش هزینه‌های اقتصادی و زمانی می‌شود، اشاره نمود. از ویژگی‌های کار با این مدل آماری ارائه نمودن گراف‌های سه بعدی، منحنی‌های برجسته و طیف گسترده‌ای از تصاویر گرافیکی است. یافتن شرایط بهینه آزمایش

^۱ ANOVA

هیدروکسیل‌های فلزی در فرایندهای انعقاد الکتروشیمیایی است، ثابت هستند بنابراین بدیهی است که ظرفیت حذف با افزایش غلظت آلاینده و رودی کاهش یابد. همچنین با افزایش غلظت آلاینده‌ها در راکتور واکنش تولید مواد حد واسط افزایش یافته و باعث مصرف منعقدکننده‌های تولیدی در راستای این مواد حد واسط می‌شود. نتایج بدست آمده در این مطالعه با نتایج مطالعه Imran et al. در سال ۲۰۱۲ مطابقت دارد. در این مطالعه نیز با افزایش میزان غلظت اولیه آرسنات در محیط کارایی فرایند انعقاد الکتروشیمیایی کاهش یافته است (Imran et al. 2012). همچنین در این فرایند، اکسیداسیون الکتروشیمیایی عوامل اکسیدکننده مانند رادیکال هیدروکسید توسط جریان الکتریکی در سطح الکترود کاتد تولید می‌شود (Aoudj et al. 2010)

۴-۳- میزان کاهش COD در شرایط بهینه و تغییرات ایجاد شده در طیف UV-VIS

به‌منظور مشخص شدن توانایی این فرایند در کاهش COD حاصل از سپرروفلوکساسین، شرایط بهینه این فرایند لحاظ شد و COD اندازه‌گیری شد. نتایج حاکی از تأثیرگذاری فرایند انعقاد الکتروشیمیایی در حذف COD است. غلظت اولیه COD با غلظت اولیه ۱۵ میلی‌گرم در لیتر سپرروفلوکساسین برابر $10/85$ میلی‌گرم در لیتر تعیین شد. در پایان زمان واکنش 64 درصد از COD اولیه حذف شد. همچنین شکل ۵ تغییرات ایجاد شده در طیف VIS-UV در شرایط بهینه مطالعه را نشان می‌دهد. اسکن دستگاه اسپکتروفوتومتر مدل DR5000 نشان می‌دهد که بالاترین پیک موجود در نمونه اولیه سپرروفلوکساسین در طول موج 274 نانومتر است. این پیک با گذشت زمان واکنش کاهش می‌یابد که بیانگر تجزیه و حذف آلاینده به ترکیبات دیگر است. در همین حال، پیک

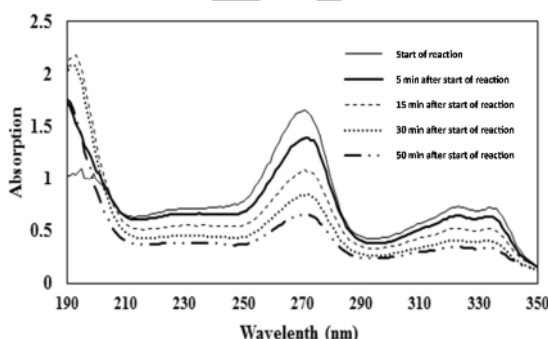


Fig. 5. Changes in wavelength scans under optimum condition

شکل ۵- تغییرات ایجاد شده در اسکن طول موج در شرایط بهینه فرایند

بهره‌برداری فرایندهای الکتروشیمیایی است. در این فرایند جریان الکتریکی اعمال شده به راکتور، در تعیین نرخ تولید مواد منعقدکننده و نرخ تولید و اندازه حباب‌های هیدروژن تأثیرگذار است، با افزایش میزان جریان اعمال شده به راکتور میزان مواد منعقدکننده و همچنین تولید حباب افزایش می‌یابد. مقدار این دو ماده با افزایش کارایی فرایند انعقاد الکتروشیمیایی تأثیر مستقیم دارد. این فاکتور از طریق تأثیر بر واکنش‌های سطح الکترود و میزان یون‌هایی که از سطح الکترود آزاد می‌شوند بر سرعت واکنش‌های الکتروشیمیایی تأثیرگذار است. بنابراین تعیین میزان جریان بهینه در فرایندهای الکتریکی امری ضروری است. با افزایش میزان جریان اعمال شده بر فرایند، راندمان حذف سپرروفلوکساسین افزایش یافته است که تحت تأثیر واکنش‌هایی است که ضمن انجام فرایند در کاتد و آند به قوی می‌پیوند.

در فرایند انعقاد الکتروشیمیایی در حالت احیاء آب یون‌های هیدروکسید تولید شده در کاتد در واکنش با یون‌های آهن تولیدی در آند، تولید سوسپانسیون هیدروکسید آهن می‌کنند که می‌تواند از طریق مکانیسم‌های جذب سطحی یا ضمن تهشیین لخته‌ها، سپرروفلوکساسین توسط مکانیسم فیزیکی جاروب کردن حذف شود. همچنین سطح لخته‌های هیدروکسیدهای تولیدی با جذب ترکیبات محلول و کلوییدی سبب به دام انداختن این ترکیبات و حذف آنها از محیط‌های آبی به طریق رسوبدهی می‌شود (Garcia et al. 2014; Can 2014).

نتایج بدست آمده در این مطالعه، با نتایج مطالعه بر روی کارایی فرایند انعقاد الکتروشیمیایی در حذف رنگ راکتیو بلک ۵ از محیط‌های آبی مطابقت دارد (Sengil & Ozacar 2009). از دیگر پارامترهای تأثیرگذار بر تمامی فرایندهای ویژه فرایندهای الکتروشیمیایی، غلظت اولیه آلاینده و رودی به راکتور است که در اکثر مطالعات الکتروشیمیایی بین غلظت اولیه آلاینده، میزان انرژی مصرفی و کارایی فرایند در حذف آلاینده ارتباطی وجود دارد. اکسیداسیون الکتروودهای آهن باعث آزاد شدن یون‌های سه ظرفیتی آهن در اثر هیدرولیز یون‌ها موجب تولید هیدروکسیل‌های مختلف می‌شود. تمامی هیدروکسیل و پلیمرهای هیدروکسیلی تولیدی، توانایی بالایی در حذف آلاینده‌های یونی مانند آنتی‌بیوتیک را دارند و آن را به لخته تبدیل می‌کنند (Zhang et al. 2013). در غلظت‌های پایین آلاینده، هیدروکسیل‌های تولیدی به راحتی قادرند با درصد بالایی از آلاینده موجود، واکنش داده و آن‌ها را به لخته تبدیل کنند و در نهایت با تهشیین از محیط‌های آبی جدا شوند. با افزایش میزان غلظت آلاینده در محیط، از آنجایی که سایر پارامترها مانند جریان الکتریکی که عامل اصلی تولید کننده

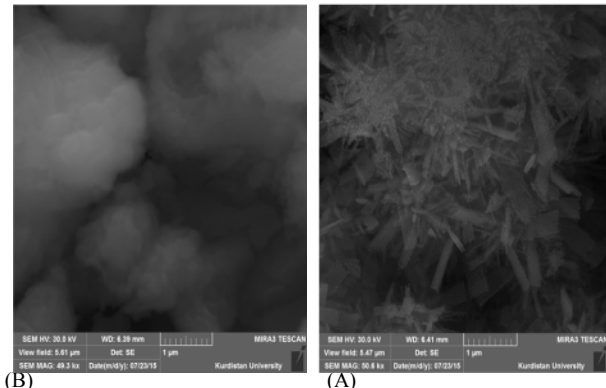


Fig. 7. SEM images of : A) before the process when ciprofloxacin is present, and B) sludge after process completion

شکل ۷- تصاویر مربوط به SEM : A: قبل از انجام فرایند که شامل سیپروفلوکساسین است و B: از لجن بعد فرایند

مانده‌اند (Ahmed et al. 2009). در بحث به کارگیری فرایندها در مقیاس محیطی علاوه بر حذف آلاینده مدنظر، کارایی فرایندها در کاهش میزان بار آلوگی آلی نیز مطرح است. آزمایش‌های مختلفی در این راستا وجود دارد که تعیین کننده میزان معادنی‌سازی فرایندها است. از آزمایش‌های سریع، ارزان و نسبتاً دقیق تعیین میزان معادنی‌سازی، آزمایش COD و تعیین تغییرات ایجاد شده در اسکن طول موج است. بر اساس نتایج ارائه شده در بخش نتایج، مشخص است که کارایی فرایندها در معادنی‌سازی آلاینده‌های آلی چشمگیر است. در مطالعات صورت گرفته توسط Zhang et al. (2013) نیز از اسکن طول موج در راستای بررسی میزان حذف آلاینده و میزان تولید مواد حد واسط و میزان معادنی‌سازی استفاده شده است.

۴- نتیجه‌گیری

نتایج این پژوهش نشان می‌دهد که استفاده از مدل‌های آماری در طراحی، اجرا و آنالیز فرایندها، دارای نتایج بسیار مطلوبی است و بهره‌گیری از این روش باعث کاهش خطاها انسانی و دستگاهی در تمامی سطوح و کاهش تعداد نمونه‌ها می‌شود. همچنین نتایج ارائه شده مشخص نمود که کارایی فرایندها در حذف آنتی‌بیوتیک سیپروفلوکساسین و COD حاصل از این آلاینده بسیار مناسب است و می‌توان با استفاده از این روش نسبتاً مقترون به صرفه، با کارایی بالای آلاینده‌های آنتی‌بیوتیکی را حذف نمود. این فرایندها بدون استفاده از مواد شیمیایی و تولید لجن اندک به عنوان فرایندی پاک و دوستدار محیط شناخته شده است.

موجود در محدوده ۲۰۰-۲۲۰ نانومتر که بیانگر حضور مواد آلی است نیز به مرور زمان در کاهش می‌یابد. در پایان زمان واکنش مقدار زیادی از سیپروفلوکساسین و مواد آلی موجود در نمونه اولیه معادنی‌سازی شدند.

میکروسکوپ الکترونی روبشی^۱ از جمله روش‌های میکروسکوپی به منظور بزرگنمایی و مشاهده مورفوولوژی سطح مواد است. در این مطالعه، تصاویر SEM از سیپروفلوکساسین و لجن بعد فرایند تهیه شد. مطابق شکل ۷ تغییرات محسوسی قابل مشاهده است و اصلی ترین تغییر تولید لخته‌های آهن و حذف سیپروفلوکساسین است. نتایج حاصل از پراش طیف FT-IR مربوط به سیپروفلوکساسین، لجن حاصل از فرایند در شکل ۶ آمده است.

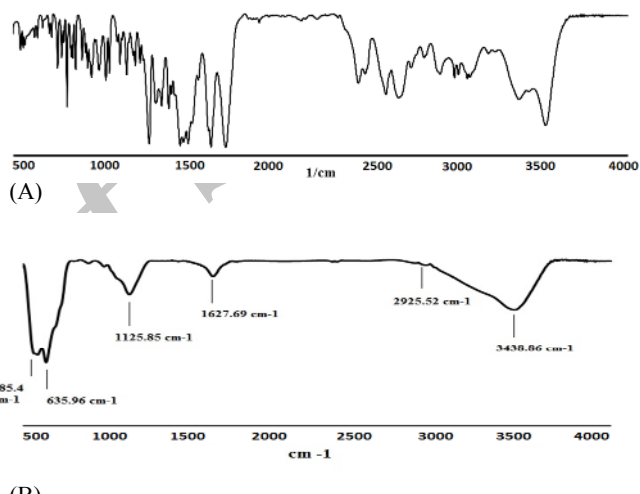


Fig. 6. Results of FT-IR analysis: (A) ciprofloxacin, (B) sludge in the presence of ciprofloxacin
شکل ۶- نتایج مربوط به آنالیز FT-IR: A) FT-IR: B) مربوط به ترکیب سیپروفلوکساسین، B: مربوط به لجن فرایند با حضور سیپروفلوکساسین

نتایج آنالیز FT-IR (قسمت A شکل ۶) بیانگر حضور پیک و دره بسیاری در ترکیب سیپروفلوکساسین است که هر یک نشانگر گروه‌های عاملی خاص است. پس از انجام فرایند اعقاد الکتروشیمیایی نتایج آنالیز لجن حاصل (قسمت B شکل ۶) نشان می‌دهد که بسیاری از این ترکیبات در طی فرایند از بین رفته‌اند و تنها چند گروه عاملی مانند آلدیدها (585cm^{-1} و 635cm^{-1})، اترها (1128cm^{-1})، آمیدها و الکن‌ها (1627cm^{-1} و 2925cm^{-1})، کربوکسیلیک اسید و الکان‌ها (3430cm^{-1}) باقی مانده‌اند.

¹ Scanning Electron Microscopy (SEM)

۵- قدردانی

سال ۱۳۹۳ به شماره ۹۳۱۰۳۰۲۵۴۱۱ به انجام رسید که نویسندهای مقاله از همکاری آن معاونت کمال تشکر را دارند.

پژوهش اخیر با استفاده از منابع مالی معاونت پژوهشی دانشگاه علوم پزشکی همدان بعنوان طرح تحقیقاتی دانشجویی مصوب

۶- مراجع

- Abu Hasan, H., Rozaimah Sheikh Abdullah, S., Kartom Kamarudin, S. & Tan Kofli, N., 2011, "Response surface methodology for optimization of simultaneous COD, NH⁴⁺-N and Mn²⁺ removal from drinking water by biological aerated filter", *Desalination*, 275(1), 50-61.
- Ahmed, M.G., Harish, N.M., Charyulu, R.N. & Prabhu, P., 2009, "Formulation of chitosan-based ciprofloxacin and diclofenac film for periodontitis therapy", *Tropical Journal of Pharmaceutical*, 8(1), 33-41.
- Aoudj, S., Khelifa, A., Drouiche, N., Hecini, M. & Hamitouche, H., 2010, "Electrocoagulation process applied to wastewater containing dyes from textile industry", *Chemical Engineering Research Design*, 49(11), 1176-1182.
- APHA., AWWA., WEF., 2012, *Standard methods for the examination of water and wastewater*, 22nd Ed., USA.
- Can, O., 2014, "COD removal from fruit-juice production wastewater by electrooxidation electrocoagulation and electro-Fenton processes", *Desalination Water Treatment*, 52(1-3), 65-73.
- Carabineiro, S., Thavorn-Amornsri, T., Pereira, M. & Figueiredo, J., 2011, "Adsorption of ciprofloxacin on surface-modified carbon materials", *Water Research*, 45, 4583-4591.
- Choi, K.J., Kim, S.G. & Kim, S.H., 2008, "Removal of antibiotics by coagulation and granular activated carbon filtration", *J. Hazardous Materials*, 151(1), 38-43.
- Choi, K.J., Son, H.J. & Kim, SH., 2007, "Ionic treatment for removal of sulfonamide and tetracycline classes of antibiotic", *Science Total Environmental*, 387(1), 247-256.
- Crisafulli, R., Aparecida, M., Cavalcante, R.M., Silveira, E.R., Keukeleire, D.D. & Nascimento, R.F., 2008. "Removal of some polycyclic aromatic hydrocarbons from petrochemical wastewater using low-cost adsorbents of natural origin." *Bioresource Technology*, 99(10), 4515-4519.
- Daneshvar, N., Oladegaragoze, A., and Djafarzadeh, N., 2006, "Decolorization of basic dye solutions by electrocoagulation: An investigation of the effect of operational parameters", *Journal Hazardous Materials*, 129(1), 116-22.
- Dimitrakopoulou, D., Rethemiotaki, I., Frontistis, Z., Xekoukoulotakis, N., Venieri, D. & Mantzavinos, D., 2012, "Degradation, mineralization and antibiotic inactivation of amoxicillin by UV-A/TiO₂ photocatalysis", *Journal Environmental Management*, 98, 168-170.
- Farhadi, S., Aminzadeh, B., Torabian, A., Khatibikamal, V. & Alizadeh Fard, M., 2012, "Comparison of COD removal from pharmaceutical wastewater by electrocoagulation, photoelectrocoagulation, peroxy-electrocoagulation and peroxy-photoelectrocoagulation processes", *Journal Hazardous Materials*, 219, 35-42.
- Garcia-Garcia, A., Martinez-Miranda, V., Ivan, G., Cienfuegos, M., Tatiana, P., Sanchez, A., et al., 2014, "Industrial wastewater treatment by electrocoagulation-electrooxidation processes powered by solar cells", *Fuel*, 149, 46-54.
- Guinea, E., Brillas, E., Centellas, F., Canizares, P., Rodrigo, M. & Saez, C., 2009, "Oxidation of enrofloxacin with conductive-diamond electrochemical oxidation, ozonation and fenton oxidation", *Water Research*, 43(8), 2131-2138.

- Hernando, M.D., Mezcua, M., Fernández-Alba, A.R. & Barcelo, D., 2006, "Environmental risk assessment of pharmaceutical residues in wastewater effluents, surface waters and sediments", *Talanta*, 69(2), 334-342.
- Imran, A., Vinod, K., Tabrez, A. & Asim, M., 2012, "Removal of arsenate from aqueous solution by electro-coagulation method using Al-Fe electrodes", *International Journal Electrochemical Sciences*, 7, 1898-1907.
- Kobya, M., Demirbas, E., Can, O.T. & Bayramoglu, M., 2006, "Treatment of levafix orange textile dye solution by electrocoagulation", *Journal Hazardous Materials*, 132(2), 183-188.
- Ölmez, T., 2009, "The optimization of Cr(VI) reduction and removal by electrocoagulation using response surface methodology", *Journal Hazardous Materials*, 162, 1371-1378.
- Rozas, O., Contreras, D., Mondaca, M., Pérez-Moya, M. & Héctor, D., 2010, "Experimental design of fenton and photo-fenton reactions for the treatment of ampicillin solutions", *Journal Hazardous Materials*, 177(1), 1025-1030.
- Şengil, İ.A. & Özcar, M., 2009, "The decolorization of CI Reactive Black 5 in aqueous solution by electrocoagulation using sacrificial iron electrodes", *Journal Hazardous Materials*, 161(2), 1369-1376.
- Shannag, M., Al-Qodah, Z., Bani-Melhem, Kh., Rasool Qtaishat, M. & Alkasrawi, M., 2014, "Heavy metal ions removal from metal plating wastewater using electrocoagulation: Kinetic study and process performance", *Chemical Engineering Journal*, 260, 749-756.
- Xu, H., Yang, Zh., Zeng, G., Luo, Y., Huang, J., Wang, Li., Song, P. & Mo, X., 2014, "Investigation of pH evolution with Cr (VI) removal in electrocoagulation process: Proposing a real-time control strategy", *Chemical Engineering Journal*, 239, 132-140.
- Zeng, Z., Zou, H., Li, X., Sun, B., Chen, J. & Shao, L., 2012, "Ozonation of acidic phenol wastewater with O₃/Fe (II) in a rotating packed bed reactor: Optimization by response surface methodology", *Chemical Engineering Research and Design*, 60, 1-8.
- Zhang, X., Zhang, Y., Zhao, H., He, Y., Li, X. & Yuan, Zh., 2013, "Highly sensitive and selective colorimetric sensing of antibiotics in milk", *Analitical Chemical Acta*, 778, 63-69.